

# 孤立性段波よりのソリトンの変形と碎波に関する研究

岩崎敏夫\*・鈴木義和\*\*

## 1. はじめに

近年分散性媒質中での非線形波動現象としてみられるソリトンが各分野で注目をあびているが、著者ら<sup>1)</sup>は造波板を水平に1回だけ移動させた際に生じる孤立性段波が伝播するにつれて変形、分裂していくつかのソリトンとさざ波になる現象に着目し、発生ソリトン数・先導ソリトンの波高増加率・減衰率およびその波圧等について報告した。

孤立性段波の遷移過程においては、ソリトンの発生する分散過程、発生したソリトンが成長し条件によっては碎ける碎波過程とがある。理想段波からの分散機構の説明として室田・岩田<sup>2)</sup>の理論があり、石田<sup>3)</sup>はソリトン分裂の機構を共鳴干渉理論により説明している。一方碎波現象は非常に多くの研究者により研究されてきているが、その現象は複雑で、碎波は1回に止まらず碎波した波が波高を減衰した後再び整形して増幅・碎波・減衰を繰返すこともある。この現象は自然海浜においてしばしば見られる表面波の碎波帶付近の挙動であり、沿岸過程を研究する上に重要と考えられるにもかかわらず、従来水路長が短かいために実験が行なわれていない。本研究では、上の現象を実験し基礎的な変形の機構を明らかにしようとするものである。

## 2. 実験概要

本実験に使用した水路は既報の全長100 m、水路幅1.0 m、水路高が延長79.5 mの高水路部分が0.5 m、延長20.5 mの低水路部分が1.0 mでその間の0.5 mの区間に45度の斜面で接続した二次元水路である<sup>1)</sup>。造波方式は造波板を水平方向に一回限り移動させて行なうものであるが、造波板の移動速度を連続的に変化させる方式のみであったものを今回は離散的に変化させる方式を加え再現性をよくした。実験は高水路での水深 $h$ (10.0, 15.0, 20.0 cm), 造波板の移動速度 $V_0$ (約11.0~32.0 cm/sec), 造波板の移動距離 stroke(0.5~2.0 m)を変化さ

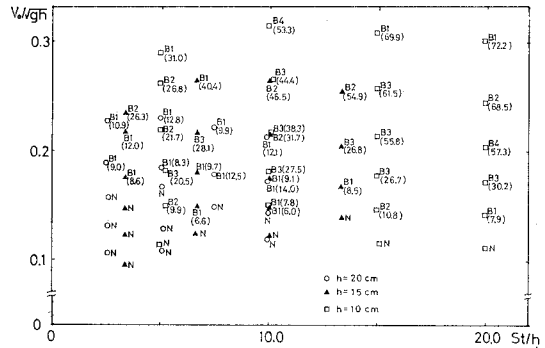


図-1 実験ケース

せて行なった。実験ケースを縦軸に  $V_0/C_0$  ( $C_0 = \sqrt{gh}$ )、横軸に stroke/h を取り、プロットしたものが図-1 である。図中  $N$  は非碎波 (no breaking) で  $Bi$  ( $i=1, 2, 3, 4$ ) は  $i$  回碎波したことを示し、かっこ内の数字は碎波点から再び整形し波面に気泡がなくなるまで波が伝播した距離 (碎波距離と定義する) で、2 回以上にわたって碎波するケースでは全ての碎波距離の和を m 単位で示したものであり、最長で 1 回のみの碎波で 72.2 m に至るケースがある。

波形・波高の測定には 16 mm シネカメラと抵抗線式波高計を用いデータレコーダー (TEAC 社製 R-410), ペン書きオシログラフに記録した。

なお以下の議論における X 方向の原点は水路端から 21 m の高水路の入口にとることにする。

## 3. 変形過程

造波された孤立性段波は伝播するにつれて変形し、いくつかのソリトンに分裂していくが、その例を図-2 に示す。発生ソリトン数・先導ソリトンの波高は初期波形を与えることにより数値的に求めることができる<sup>1)</sup>。孤立性段波からのソリトン分裂は順次段波後方に向かって進行するといった単純な現象ではなく、図-3 に図-2 上段のケースについて各ソリトンの軌跡を示すが、2nd と 3rd の間に新たに 4th ソリトンが出現しており、分裂機構は非常に複雑である。新しく発生した 4th ソリ

\* 正会員 工博 東北大学教授 工学部土木工学科

\*\* 学生会員 東北大学大学院 工学研究科

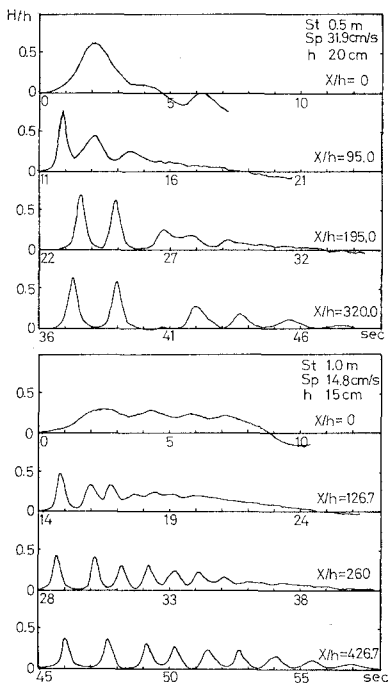


図-2 変形過程

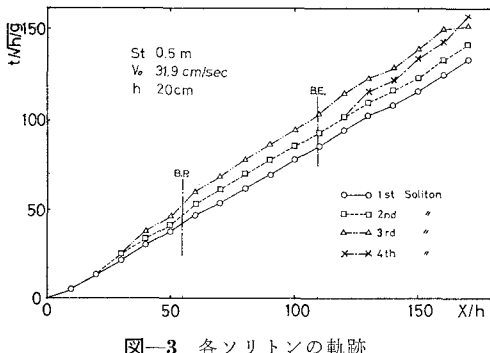


図-3 各ソリトンの軌跡

より後方の3rdソリトンの方が波高が大きく、したがって波速が大きいため3rdソリトンが4thソリトンに追いついている様子がみられる。

分裂後安定となった各ソリトンはそれぞれ孤立波とみなすことができ、波高の順に整列しおのの位相差を広げながら伝播していく。

図-4は波高計により記録された時間波形をAD変換しGoertzel法により直接フーリエ変換し初期段波の周波数を基本周波数とする余弦・正弦係数の二乗和をパワーとし、水路方向における各成分パワーの全パワーに対する百分率の変化を示したものである。伝播するにつれて高周波成分の割合が増大し、低周波成分が減少しており、エネルギーが低周波数側から高周波数側へ移行していくといえる。石田<sup>4)</sup>は周期波のソリトン分裂に関し3

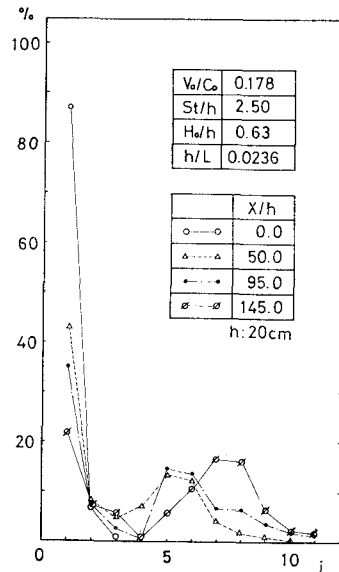


図-4 エネルギーの移行

倍周波数までの成分波の振幅の変化を調べており、同様の整理を行なうと基本成分波の振幅が減少し、高周波数成分波の振幅が増大しており、「分裂する波峰が多くなるほど高周波数成分の振幅が大きくなることが考えられる」との指摘に対応している。

#### 4. 碎波過程

初期段波波高水深比  $\eta_0/h$  が約 0.4 以上の場合先導ソリトンは spilling 型碎波をする。

Seliger<sup>5)</sup>は Whitham<sup>6)</sup>の導いた積分方程式(1)式を用い碎波条件を導いた。

$$\eta_t + \alpha \eta \eta_x + \int_{-\infty}^{\infty} K(x-\xi) \eta_{\xi}(\xi, t) d\xi = 0 \quad \dots \dots (1)$$

$$\alpha = \frac{3}{2} C_0/h_0, \quad C_0 = \sqrt{gh_0}$$

$$K(x) = \frac{1}{2\pi} \int_{-\infty}^{\infty} C(k) e^{ikx} dk,$$

$$C(k) = \left( \frac{g}{k} \tanh kh_0 \right)^{1/2}$$

初期波形が十分非対称である場合に、波前面が直立するまでの時間は  $|\alpha m(0) + K(0)|^{-1}$  以下である。ここに  $m(0)$  は初期波形の前面における勾配の最大値である。 $K(0)$  に Whitham の近似核を用いると碎波条件は式(2)となる。

$$\left( \frac{\partial \eta}{\partial t} \right)_{\max} / \sqrt{gh} = \frac{2}{3} (X_B/h)^{-1} + \frac{\pi}{6} \quad \dots \dots \dots (2)$$

分散項を無視すれば次式を得る。

$$\left( \frac{\partial \eta}{\partial t} \right)_{\max} / \sqrt{gh} = \frac{2}{3} (X_B/h)^{-1} \quad \dots \dots \dots (3)$$

(2)式の  $\pi/6$  が分散効果による碎波の遅れを表わして

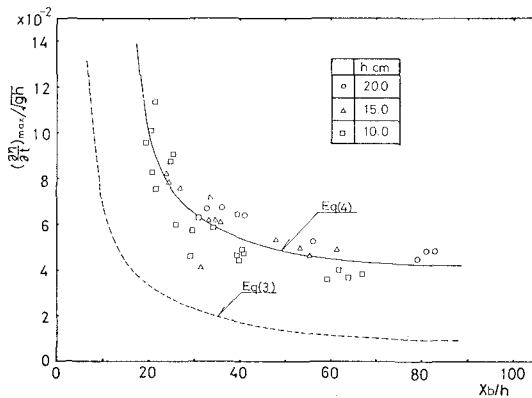


図-5 碎波点～波形の最大勾配

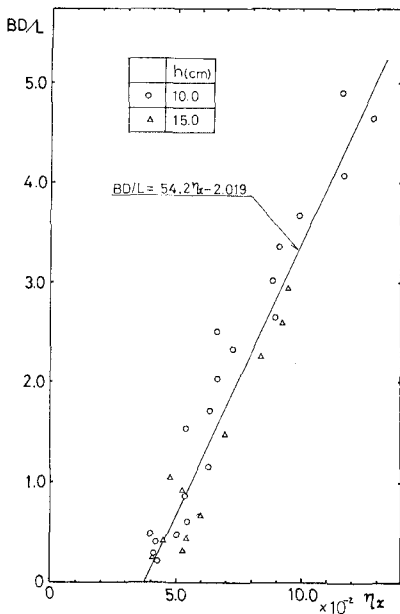


図-6 碎波距離（第1回目碎波について）

いるが、実験においてこれ程大きな遅れはみられない。これは近似核表示に際し不等号を大きな値でおきかえるからである<sup>7)</sup>。図-5 に破線で式(3)を示し実験値をプロットした。式(3)との差が認められるが、式(2)との差に比して約 6 % に過ぎない。図中実線は実験値に対し最小自乗的に当てはめた曲線で次式で表わされる。

$$\left(\frac{\partial \eta}{\partial t}\right)_{\max} / \sqrt{gh} = \frac{2}{3} (X_B/h - 0.996)^{-1} + 0.0321 \quad \dots \dots \dots (4)$$

なお  $h$  として水底から波形の勾配が最大である点までの距離をとり実験値をプロットした。

次に初期波形の最大勾配と碎波距離の関係を示したものが図-6、図-7 である。図-6 においては 2 回以上にわたって碎波するケースについてはその第 1 回目の碎波距離をとったが、図-7 においては全ての碎波距離の

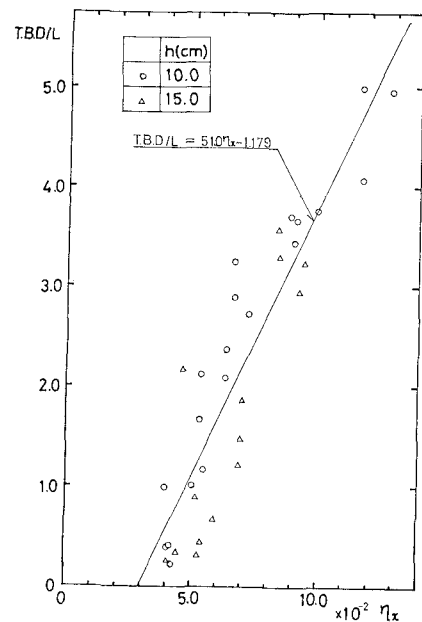


図-7 碎波距離（全ての碎波について）

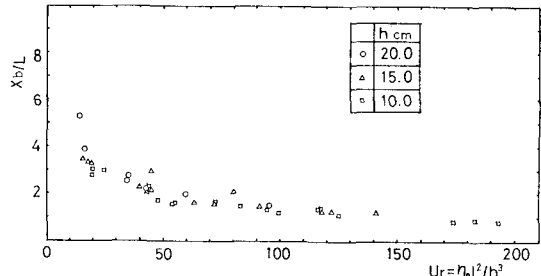


図-8 碎波点～アーセル数

和を初期段波波長で無次元化したものを縦軸にとった。図-6 から 1 回目の碎波は初期波形の特性量  $\eta_x$  とよい直線関係にあることが知れる。また図-7 に示すように全碎波距離に関してもかなりの相関がみてとれる。

図-8 は縦軸に第 1 回目の碎波点までの距離を初期段波波長で無次元化したもの、横軸にはアーセル数  $U_r (= \eta_0 L^2 / h^3, \eta_0: 初期段波波高, L: 初期段波波長)$  をとり、実験値をプロットしたものである。非線形性と分散性の比を表わすアーセル数が 50 以下になると急激に碎波が遅れている。碎波は波先の状態が支配的であると考えられるにもかかわらずアーセル数において上記の様に波群全体の長さを水平方向の特性長にとっても碎波点と密接な関係があることがわかる。

## 5. 碎波後の波高変化

碎波する先導ソリトンの波高変化の例を図-9 に示す。碎波後波面に気泡を保持しつつ波高は急激に減少し

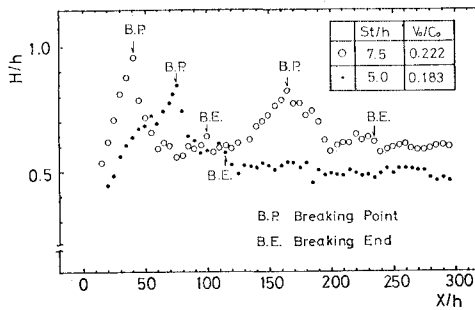


図-9 先導ソリトンの波高変化

いったん極小となるが、その波形を整えながら気泡が徐々に少くなり、それと共に波高が増大する。波面に気泡がなくなり碎波が終了すると波高は若干減少し、その後は安定な孤立波に移行するかあるいは二次碎波へと向かう。

碎波後の波高変化に関し、Horikawa and Kuo<sup>8)</sup>, Le-Méhauté ら<sup>9), 10)</sup>を始め多くの研究がある。波の持つエネルギーは底部摩擦と碎波により散逸するものとし式(5)が成り立つとする。

$$\frac{dE}{dt} = \frac{dE}{dt} \Big|_{\text{friction}} + \frac{dE}{dt} \Big|_{\text{breaking}} \quad \dots \dots \dots (5)$$

まず摩擦によるエネルギー損失は単位幅当たり次式で評価されるとする。

$$\frac{dE}{dt} \Big|_{\text{friction}} = - \int_{-\infty}^{\infty} \tau u dx \quad \dots \dots \dots (6)$$

ここに、 $\tau = \rho f u^2$ ( $f$ : 摩擦係数) で流速は鉛直に一様分布するとして、碎波する波は孤立波とみなせると仮定すれば

$$u = C\eta / (\eta + h),$$

$$\eta = H \operatorname{sech}^2 \left\{ \frac{1}{2} \sqrt{\frac{3H}{h^3}} (x - Ct) \right\}, \quad C = \sqrt{g(h+H)}$$

以上から

$$\frac{dE}{dt} \Big|_{\text{friction}} = - \frac{4}{5} \frac{fC^3 H}{gh^3} E \quad \dots \dots \dots (7)$$

$$E = \frac{8}{\sqrt[3]{3}} \rho g h^3 \left( \frac{H}{h} \right)^{3/2} \quad \dots \dots \dots (8)$$

次に碎波によるエネルギー損失は段波の跳水によってなされるものとする(例えば Lamb<sup>11)</sup>)。

$$\frac{dE}{dt} \Big|_{\text{breaking}} = \rho g Q \frac{(h_1 - h_2)^3}{4h_1 h_2} \quad \dots \dots \dots (9)$$

ここに、 $h_1 = h + \beta H$ ,  $h_2 = h + H$  であり、 $\beta$  は図-10 中の模式図に示すように碎波後乱れが生じていない部分の波高に対する比率である。波速  $C$  で移動する座標系において

$$u_1 = C \cdot \frac{\beta H}{h + \beta H} - C \quad (\text{at } h = h_1),$$

$$u_2 = C \frac{H}{h + H} - C \quad (\text{at } h = h_2)$$

また流量  $Q$  は  $Q = |u_1 h_1| = |u_2 h_2| = Ch$  であるから以上の関係式によって(9)式を書き直すと

$$\frac{dE}{dt} \Big|_{\text{breaking}} = - \frac{3\sqrt{3}}{32} \frac{C}{H+h} \left( \frac{H}{h} \right)^{3/2} \times \frac{(1-\beta)^3}{(1+\beta H/h)} E \quad \dots \dots \dots (10)$$

一方

$$\frac{dE}{dt} = - \frac{d(EC)}{dx} = - \frac{3}{2} CE \left( \frac{1}{h} \frac{dh}{dx} + \frac{1}{H} \frac{dH}{dx} \right) \quad \dots \dots \dots (11)$$

であるから水平床( $dh/dx=0$ )を考慮して最終的に(5)式は次式となる。

$$\frac{d(H/h)}{d(x/h)} = - \frac{8f}{15} \left( \frac{H}{h} \right)^2 \left( 1 + \frac{H}{h} \right) - \frac{\sqrt{3}}{16} \frac{(H/h)^{5/2}}{(1+H/h)} \cdot \frac{(1-\beta)^3}{(1+\beta H/h)} \quad \dots \dots \dots (12)$$

$f$  および  $\beta$  が与えられれば Runge-Kutta 法等により容易に数値解が求まる。 $f$  は粗度係数  $n=0.013$  としまニングの公式により  $f=0.0068$ 、また  $\beta$  は実験の知見から指數関数的に変化するものとし  $\beta=\exp(-ax/H)$  における  $a$  の値を決定する。図-10 中の曲線は  $\phi$  印と比較するため、初期値として  $H_0/h=0.90$ ,  $a=0.30$ とした(12)式の解である。現実の現象としては碎波後乱れが生じ、その乱れが波前面をおおった後( $\beta=0$ )、乱れが消えていくのであるが( $1 \geq \beta > 0$ )、図中には乱れが完全に発達しているところまでの解を示してある。初期値および  $\beta$  の値を各ケースについて与えて同様の曲線を描くと碎波後波高が極小となるところまでは実験値とよく一致するが、極小となった後乱れを減じながら波高を増大させる機構が不明で(12)式では波高変化を表わせない。

波のエネルギー損失がどの程度であるか実験から求め

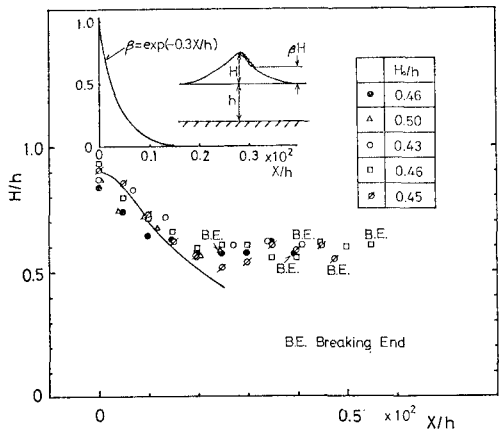


図-10 碎波後の波高減衰

表-1 エネルギー変化

	非碎波	1回碎波
$V_0/C_0$	0.122	0.149
$S_t/h$	3.33	6.67
$H_0 \text{ cm}$	4.61	5.60
$H_1 \text{ "}$	7.46	9.32
$H_2 \text{ "}$	6.28	6.69
$E_1 \times 10^4 \text{ erg/cm}$	1.464	2.180
$E_2 \text{ "}$	1.278	1.468
$M_1 \times 10^3 \text{ g/cm}$	0.630	0.716
$M_2 \text{ "}$	0.616	0.660
$\Delta E \%$	12.70	32.66
$\Delta M \text{ "}$	2.22	7.82
$dE/dt \text{ er/cm} \cdot \text{sec}$	-8.16	-32.60

$$\Delta E = \frac{E_1 - E_2}{E_1} \times 100, \Delta M = \frac{M_1 - M_2}{M_1} \times 100$$

$$h=15.0 \text{ cm}$$

てみる。対象は非碎波と1回碎波する先導ソリトンとして、碎波するケースとしては完全に分裂した後碎波するものを選択し、碎波直前の波形( $X/h=186.7$ )とそこから20 m 後の波形( $X/h=320.0$ )とで比較し、非碎波のケースも同じ地点で比較する。エネルギーはボテンシャルエネルギーの2倍とした。単位時間当たりのエネルギー変化率  $dE/dt$  は次式で計算した。

$$\frac{dE}{dt} = -\frac{d(EC)}{dx} = -\frac{C_1 E_1 - C_2 E_2}{\Delta x} \quad \dots \dots (13)$$

ここに、 $C_i = \sqrt{g(h+H_i)}$ 、 $\Delta x = 20 \text{ m}$  である。表-1 に結果を示す。合わせて質量  $M$  の変化を示すが、非碎波のケースでは質量の変化はほとんどないといつてよいが、エネルギーは1割程度の減少がある。また、単位時間当たりのエネルギー変化率はわずかである。一方、碎波する場合には碎波現象によって大量のエネルギーが散逸されていることがみてとれる。

## 6. おわりに

孤立性段波が変形・分裂して発生したソリトンの変形と碎波に着目しことが明らかになった。

(1) 孤立性段波からソリトンが発生する現象は非常に複雑で段波後方に向かい順次分裂が進行するといった単純な現象だけではない。

(2) 変形するにつれてエネルギーが低周波側から高周波側へと移行する。

(3) 初期波形における最大の勾配と碎波点、碎波距離は密接な関係がある。また碎波点とアーセル数の間に明らかな相関がある。

(4) 碎波後の波高変化は波高が極小となるところまでは実験と(12)式はよく一致する。

本論文をまとめるに当り、東北大学教授 首藤伸夫博士、同助手 真野 明氏には有益な御助言を頂いた。また東北大学技官 佐藤 弘、佐藤栄司両氏には実験遂行上各種の援助を得た。最後に東北大学学生 小島勇三(現 東亜建設)、栗田 悟(現 東北大学大学院)両君には実験・解析に協力して頂いた。ここに記して感謝の意を表す。

## 参考文献

- 1) 岩崎敏夫・真野 明・小杉達郎: 孤立性段波のソリトン分裂に関する研究, 第22回海岸工学講演会論文集, pp. 47~51, 1975.
- 2) 室田 明・岩田好一朗: 段波の変形に関する研究, 土木学会論文集, 第160号, pp. 49~58, 1968.
- 3) 石田 昭: 浅水領域での分裂波 Soliton の特性について, 第22回海岸工学講演会論文集, pp. 41~46, 1975.
- 4) 石田 昭・石田和生: 浅水領域における波形の分裂現象—二次波峰現象と Soliton について—, 第20回海岸工学講演会論文集, pp. 403~409, 1973.
- 5) Seliger, R. L.: A note on the breaking of waves, Proc. Roy. Soc., Ser. A, Vol. 303, pp. 493~496, 1968.
- 6) Whitham, G. B.: Variational methods and applications to water waves, Proc. Roy. Soc., Ser. A, No. 229, pp. 6~25, 1967.
- 7) 首藤伸夫: 津波の計算における非線形項と分散項の重要性, 第23回海岸工学講演会論文集, pp. 432~436, 1976.
- 8) Horikawa, K. and C. T. Kuo: A study on wave transformation inside surf zone, Proc. 10th. Conf. Coastal Eng., pp. 217~233, 1966.
- 9) Le Méhauté, B.: On non-saturated breakers and wave run up, Proc. 8th. Conf. Coastal Eng., pp. 77~92, 1962.
- 10) Divoky, D., B. Le Méhauté and A. Lin: Breaking waves on gentle slopes, Jour. Geophys. Res., Vol. 75, pp. 1681~1692, 1970.
- 11) Lamb, H.: Hydrodynamics, 6th ed., Cambridge Univ. Press, § 187, 1932.